



ผลของสารชีมวاستดินต่อการเพิ่มจำนวนเซลล์ และระดับการทำงานของเอนไซม์เอ็มเอ็มพี 2 และ -9 ในเซลล์ไลน์มะเร็งเขือข่าสี 4 และ¹ เซลล์ไลน์มะเร็งซีซีแอล 25²

ธิดา ชัยศุภรัตน์ ทบ.¹

ผกาวัลย์ มูสิกพงศ์ วท.บ.²

พลุธा รัณภูษะกิจไพบูล ทบ. Ph.D.³

¹ ภาควิชาทันตแพทย์ชีวภาพ คณะทันตแพทยศาสตร์ จุฬาลงกรณ์มหาวิทยาลัย

² ศูนย์วิจัยเชื้อวิทยาช่องปาก คณะทันตแพทยศาสตร์ จุฬาลงกรณ์มหาวิทยาลัย

³ ภาควิชากายวิภาคศาสตร์ คณะทันตแพทยศาสตร์ จุฬาลงกรณ์มหาวิทยาลัย

บทคัดย่อ

วัตถุประสงค์ เพื่อศึกษาผลของสารชีมวاستดิน ที่มีต่อการเพิ่มจำนวนเซลล์และระดับเอนไซม์เอ็มเอ็มพี-2 และ -9 ในเซลล์ไลน์มะเร็งเขือข่าสี-4 และ เซลล์ไลน์มะเร็งซีซีแอล-25

วัสดุและวิธีการ เซลล์จะถูกทดสอบด้วยสารชีมวاستดินในอาหารเลี้ยงเซลล์ที่ปราศจากเชื้อรัง เป็นเวลา 24 ชั่วโมง จากนั้นวัดจำนวนเซลล์ด้วยสารเอ็มทีที เอ็นไซม์ที่อยู่ในอาหารเพาะเลี้ยงเซลล์ที่ได้หลังการทดสอบ จะถูกตรวจวัด ระดับการทำงานของเอนไซม์ด้วยวิธีเจลติดน้ำในกราฟฟิ ข้อมูลที่ได้จะถูกวิเคราะห์ทางสถิติแบบ One way ANOVA ($\alpha < 0.05$)

ผลการศึกษา สารชีมวاستดินที่ระดับความเข้มข้นของปอร์ติน 15 และ 20 ไมโครโมลาร์ มีผลยับยั้งการเพิ่มจำนวนของเซลล์ไลน์มะเร็งเขือข่าสี-4 และ เซลล์ไลน์มะเร็งซีซีแอล-25 อย่างมีนัยสำคัญทางสถิติ สารชีมวاستดินที่ระดับความเข้มข้น 10 ไมโครโมลาร์ มีผลยับยั้งระดับการทำงานของเอนไซม์เอ็มเอ็มพี-9 ในเซลล์มะเร็งซีซีแอล-25 อย่างมีนัยสำคัญทางสถิติ และสารชีมวاستดินไม่มีผลอย่างมีนัยสำคัญทางสถิติต่อระดับการทำงานของ เเอนไซม์เอ็มเอ็มพี-2 และ -9 ในเซลล์มะเร็งเขือข่าสี-4

สรุป ความเป็นพิษของสารชีมวاستดินที่มีต่อเซลล์ไลน์มะเร็งเขือข่าสี-4 และ เซลล์ไลน์มะเร็งซีซีแอล-25 อยู่ที่ ระดับความเข้มข้น 15 และ 20 ไมโครโมลาร์ สารชีมวاستดินมีผลยับยั้งระดับการทำงานของเอนไซม์เอ็มเอ็มพี-9 ในเซลล์มะเร็งซีซีแอล-25 ที่ระดับความเข้มข้น 10 ไมโครโมลาร์ อย่างมีนัยสำคัญทางสถิติ

(ฯ พันต จุฬาฯ 2547;27:59-67)

คำสำคัญ: สารชีมวاستดิน การทดสอบความเป็นพิษ เอ็นไซม์เอ็มเอ็มพี-9 เ洁ลาตินไข่ในกราฟฟิ

บทนำ

มะเร็งเป็นปัญหาทางสาธารณสุขของโลกและของประเทศไทย ถึงแม้ว่าความรู้ทางด้านการแพทย์ในการรักษาโรคมะเร็งด้วยวิธีการผ่าตัด ขยายรังสี และเคมีบำบัด ทำให้การรักษาได้ผลในระดับหนึ่ง แต่อุปสรรคสำคัญต่อการรักษาของผู้ป่วยที่เป็นมะเร็งคือความสามารถในการเพิ่มจำนวนอย่างรวดเร็วของเซลล์มะเร็ง การดื้อต่อการขยายรังสีและเคมีบำบัด รวมทั้งการแพร่กระจายลุกคามของมะเร็ง ทำให้เป็นสาเหตุหลักของการเสียชีวิตของผู้ป่วย¹⁻³

เอนไซม์เจลลาตินаз (gelatinase) เป็นเอนไซม์กลุ่มเมทัริกซ์เมทิลโลโปรตีนаз (matrix metalloproteinases : MMPs) ประกอบด้วยเอนไซม์เอ็มเอ็มพี-2 (MMP-2) และเอนไซม์เอ็มเอ็มพี-9 (MMP-9) โดยเอนไซม์กลุ่มนี้สามารถย่อยสลายคอลลาเจนชนิด IV ซึ่งเป็นส่วนประกอบของเยื่อใต้ฐานเซลล์⁴ ได้มีการรายงานความสัมพันธ์ระหว่างระดับการสร้างเอนไซม์เอ็มเอ็มพี-2 และ -9 กับความสามารถในการลุกคามและการแพร่กระจายของมะเร็ง²⁻³ โดยพบว่าเซลล์มะเร็งชนิดความต้านทานต่ำในร้อยโรคที่มีการแพร่กระจาย จะมีระดับเอนไซม์ทั้งสองสูงกว่าร้อยโรคที่ไม่แพร่กระจาย⁵⁻⁷ ดังนั้นการค้นพบสารที่มีผลยับยั้งการเพิ่มจำนวนของเซลล์มะเร็งและการสร้างเอนไซม์เอ็มเอ็มพี-2 และ -9 ในเซลล์มะเร็งจึงเป็นทางเลือกที่น่าสนใจเพื่อเป็นแนวทางในการป้องกันการแพร่กระจายของมะเร็ง

สเตติน (statin) เป็นกลุ่มยาที่ใช้ในการรักษาและป้องกันผู้ป่วยที่เป็นโรคหัวใจและระบบหลอดเลือด (cardiovascular disease) เนื่องจากระดับคอเลสเทอรอลในเลือดสูง โดยมีผลยับยั้งการทำงานของเอนไซม์อะเซอีโคเอร์ดักเตส (HMG-CoA reductase) ซึ่งเป็นเอนไซม์หลักในการเปลี่ยนอะเซอีโคเอเป็นเมวาโนเลนด (mevalonate) มาใช้ในการสร้างสารคอเลสเทอรอล⁸ ทำให้เซลล์ในร่างกายต้องใช้คอเลสเทอรอลในกระแสเลือด และส่งผลให้ระดับคอเลสเทอรอลในกระแสเลือดลดลง นอกจากผลโดยตรงของสารสเตตินในการลดระดับคอเลสเทอรอลในกระแสเลือดดังที่ได้กล่าวมาแล้ว สารสเตตินยังสามารถนำมาใช้ในการรักษาผู้ป่วยที่มีการสะสมตะกรันบนผนังหลอดเลือด (atherosclerosis) เพื่อลดความเสี่ยงของการเกิดภาวะหลอดเลือดอุดตันเฉียบพลัน⁹⁻¹⁰ โดยสเตตินจะไปยับยั้งการ

สร้างเอนไซม์เอ็มเอ็มพี-9 ของเซลล์แมคโครฟاج (macrophage) จึงช่วยป้องกันการแตกของก้อนตะกรันและการเกิดก้อน thrombus (thrombus) ได้¹¹⁻¹²

ได้มีการรายงานผลของสารกลุ่มสเตตินในการยับยั้งการเกิดและการแพร่กระจายของมะเร็งเด้านมและมะเร็งเม็ดเลือดขาวในหนูทดลอง¹³⁻¹⁵ เมื่อรวมกับความสามารถของสารกลุ่มสเตตินในการยับยั้งการสร้างเอนไซม์กลุ่มเอ็มเอ็มพี-2 และ -9 ดังนั้นสารสเตตินจึงเป็นสารที่น่าสนใจเพื่อนำมาศึกษาผลที่มีต่อเซลล์มะเร็ง โดยการวิจัยครั้งนี้มีวัตถุประสงค์เพื่อศึกษาผลของสารซิมวัสดุสเตติน (simvastatin) ซึ่งเป็นยาในกลุ่มสเตตินที่มีต่อการเพิ่มจำนวนเซลล์และระดับการทำงานของเอนไซม์เอ็มเอ็มพี-2 และเอนไซม์เอ็มเอ็มพี-9 ในเซลล์มะเร็งเอชซีเอสชี-4 และเซลล์มะเร็งชีซีแออล-25

วัสดุอุปกรณ์และวิธีการ การเพาะเลี้ยงเซลล์

เซลล์ไลน์ (cell line) ที่ใช้ในการศึกษาครั้งนี้ได้แก่ เซลล์มะเร็งเอชซีเอสชี-4 (HSC-4, Japanese Cancer Research Bank: JCRB0624) และเซลล์มะเร็งชีซีแออล-25 (WISH, ATCC number: CCL-25) เซลล์จะถูกนำมาเลี้ยงในภาชนะเพาะเลี้ยงเซลล์ขนาด 60 มิลลิเมตร (60 mm culture dish, Nunc, Denmark) ที่มีอาหารเลี้ยงเซลล์ซึ่งประกอบด้วย น้ำยาดีเอ็มเอ็ม (DMEM ; Dulbecco's Modified Eagle's Medium) ซึ่งมีความเข้มข้นร้อยละ 10 (10% fetal bovine serum), ออกฤทธิ์ความเข้มข้น 2 มิลลิโมลาร์ (2 mM L-glutamine), เพนนิซิลลินจีความเข้มข้น 100 ยูนิตต่อมิลลิลิตร (100 IU/ml penicillin-G), สเตรปโตมัยซินซัลเฟตความเข้มข้น 100 ไมโครกรัมต่อมิลลิลิตร (100 µg/ml streptomycin sulfate) และแอมฟอเทอเรซินบีความเข้มข้น 20 ไมโครกรัมต่อมิลลิลิตร (20 µg/ml amphotericin B) เซลล์จะถูกเลี้ยงในตู้อบเพาะเลี้ยงเซลล์ ที่อุณหภูมิ 37 องศาเซลเซียส และระดับความชื้น 95% ทำให้เซลล์เจริญเติบโตจนเต็มจานเพาะเลี้ยงเซลล์ ทุก 2-3 วัน เมื่อเซลล์เจริญเติบโตจนเต็มจานเพาะเลี้ยงเซลล์จะทำการซับคัลเจอร์ (subculture) โดยใช้เอนไซม์ทริปซินเอ็ตีทีเค ความเข้มข้นร้อยละ 0.25 (0.25% trypsin-EDTA) และนำเซลล์ไปเลี้ยงในภาชนะเพาะเลี้ยงเซลล์ใหม่ อาหารเลี้ยงเซลล์และสารประกอบทั้งหมดได้จาก GibcoBRL (NY,USA)

การทดสอบเซลล์ที่เพาะเลี้ยงด้วยสารชีมวัลเติน

เซลล์ถูกห่วนลงในจานเพาะเลี้ยงเซลล์ชนิด 24 หลุม (24-well plate, Nunc, Denmark) ที่ความหนาแน่น 100,000 เซลล์/มิลลิลิตร นำจานเพาะเลี้ยงเซลล์ไปบ่มในตู้อบเพาะเลี้ยงเซลล์ที่อุณหภูมิ 37 องศาเซลเซียส เป็นเวลา 24 ชั่วโมง จากนั้นเปลี่ยนอาหารเลี้ยงเซลล์เป็นชนิดปราศจากชีรัม 2 ครั้ง แต่ละครั้งห่างกัน 3 ชั่วโมงเพื่อล้างชีรัมออก แล้วจึงเริ่มทำการทดสอบโดยเปลี่ยนอาหารเลี้ยงเซลล์เป็นอาหารเลี้ยงเซลล์ชนิดปราศจากชีรัมที่มีสารชีมวัลเติน (N21436, Aapin Chemical Limited, Abington, UK) ที่ระดับความเข้มข้น 0, 1, 5, 10, 15 และ 20 ไมโครโมลาร์ จนครบเวลา 24 ชั่วโมง จึงนำมาทำการวิเคราะห์ผลของสารชีมวัลเตินต่อการเปลี่ยนแปลงจำนวนเซลล์ การศึกษาครั้งนี้เซลล์จะถูกทดสอบช้าอย่างน้อยสามครั้ง

วิธีทดสอบเอ็มทีที (MTT assay)

การวิเคราะห์ที่ใช้ดัดแปลงมาจากวิธีของ Freshney¹⁶ กล่าวโดยย่อคือ ภายหลังการเลี้ยงเซลล์ที่ทำการทดสอบในสภาพที่มีสารชีมวัลเติน ที่ความเข้มข้นต่าง ๆ กัน เป็นเวลา 24 ชั่วโมง อาหารเลี้ยงเซลล์จะถูกเปลี่ยนเป็นดีเอ็มเอ็มชนิดปราศจากฟีโนลเรด (DMEM without phenol red) ที่มีสารละลายอีมทีที (MTT; 3-(4,5-dimethylthiazol-2-yl)-2,5-diphenyltetrazolium bromide) ความเข้มข้น 0.5 มิลลิกรัมต่อมิลลิลิตร และนำเข้าตู้อบเพาะเลี้ยงเซลล์ที่อุณหภูมิ 37 องศาเซลเซียส เป็นเวลา 4 ชั่วโมง จากนั้นดูดสารละลายอีมทีที่แลดูสีม่วงของอีมทีทีฟอร์มานาซัน (MTT formazan) ให้เป็นสารละลายสีม่วง นำสารละลายที่ได้ไปวัดค่าการดูดกลืนแสง (optical density) ด้วยเครื่องสเปกโตรโฟโตเมตอร์ (spectrophotometer) ที่ความยาวคลื่น 570 นาโนเมตร นำค่าที่วัดได้ไปคำนวนหาร้อยละของจำนวนเซลล์ที่มีชีวิตเปรียบเทียบกับกลุ่มควบคุม ตามสูตรคำนวณดังนี้

$$\text{ร้อยละของจำนวนเซลล์ที่มีชีวิต} = \left[\frac{\text{ค่าดูดกลืนแสงของกลุ่มทดลอง}}{\text{ค่าดูดกลืนแสงของกลุ่มควบคุม}} \right] \times 100$$

นำข้อมูลจากการคำนวนไปวิเคราะห์ทางสถิติโดยใช้โปรแกรมเอสพีเอสเอส (SPSS; statistical package for the social sciences) หาค่าเฉลี่ยและค่าเบี่ยงเบนมาตรฐาน และ

วิเคราะห์ความแตกต่างของจำนวนเซลล์ในกลุ่มที่ทดสอบด้วยสารชีมวัลเตินกับกลุ่มควบคุม โดยใช้สถิติวิเคราะห์ความแปรปรวนแบบทางเดียว (one-way analysis of variance) และแบบทดสอบของเชฟเฟ่ (Scheffe' multiple range test) ที่ระดับความเชื่อมั่นร้อยละ 95

การวิเคราะห์เอนไซม์เอ็มเอ็มพี-2 และ -9 ด้วยวิธีเจลาตินไซมографฟี (gelatin zymography)

วิธีวัดระดับเอนไซม์เอ็มเอ็มพี-2 และ -9 ด้วยวิธีเจลาตินไซมографฟี ดัดแปลงมาจาก Kusano และคณะ¹⁷ โดยย่อคือ เอนไซม์ที่อยู่ในอาหารเพาะเลี้ยงเซลล์ที่ได้หลังการทดสอบ จะถูกแยกตามมวลในเกลุลด้วยวิธีการแยกด้วยไฟฟ้า (electrophoresis) ในสภาพ non-reducing โดยใช้อัคติลามายด์เจลที่ความเข้มข้นร้อยละ 10 (SDS-PAGE) และมีความเข้มข้นของเจลาตินร้อยละ 0.1 ซึ่งเป็นชั้นสเตรทของเอนไซม์เอ็มเอ็มพี-2 และ -9 ภายหลังจากการแยกเอนไซม์ด้วยกระแสไฟฟ้าเรียบร้อยแล้ว นำเจลมาล้างด้วยสารละลายไตรตอนอีกชั้นเพื่อความเข้มข้นร้อยละ 2.5 (2.5% triton X-100) เพื่อกำจัดเศษส่วนของเจลจากนั้นนำเจลไปเขย่าในบัฟเฟอร์ (0.15M NaCl, 10mM CaCl₂, 50mM Tris HCl pH 7.5, 0.1% Brij35) เพื่อปรับสภาพให้เอนไซม์สามารถทำงานได้ แล้วนำเข้าตู้อบเพาะเลี้ยงเซลล์ที่อุณหภูมิ 37 องศาเซลเซียส เป็นระยะเวลา 24 ชั่วโมงเพื่อให้เกิดปฏิกิริยาระหว่างเอนไซม์กับชั้นสเตรท จากนั้นย้อมเจลด้วยคุแมสซีบริลเลียนบลูอาร์ 250 ความเข้มข้นร้อยละ 0.5 (0.5% coomassie brilliant blue R250, Sigma, MO, USA) และทำการล้างสีส่วนเกิน (destain) จะปรากฏແບ Bradley สีน้ำเงินซึ่งเป็นตำแหน่งของเอนไซม์เอ็มพี-2 และเอนไซม์เอ็มพี-9 ที่ต้องการศึกษา จากนั้นนำเจลไปวิเคราะห์ความเข้มข้นของແບโดยเดนซิทิมิเตอร์ (GS-700 imaging densitometer) และคำนวนด้วยโปรแกรม Molecular Analyst Software version 1.5 (Bio Rad Laboratories, Hercules, CA, USA)

เนื่องจากวิธีเจลาตินไซมографฟี เอนไซม์เอ็มเอ็มพี-2 และ -9 ที่อยู่ในรูปก่อนทำงาน (proactive form) และพร้อมทำงาน (active form) ที่อยู่ในแผ่นเจล สามารถยืดออกเจลาตินที่ผูกอยู่ในเนื้อเจลได้ ดังนั้นในการศึกษาครั้งนี้ ระดับการทำงานของเอนไซม์เอ็มเอ็มพี-2 และ -9 (enzyme activity) คำนวนจากอัตราส่วนระหว่างระดับเอนไซม์ในรูปพร้อมทำงานต่อเอนไซม์ในรูปก่อนทำงาน

ผลการศึกษา

สารซิม华สเตตินมีผลยับยั้งการเพิ่มจำนวนของเซลล์มะเร็งเอชเอสซี-4 และเซลล์มะเร็งซีซีแอล-25

จากการวิเคราะห์ผลของสารซิม华สเตตินต่อการเปลี่ยนแปลงจำนวนเซลล์ด้วยวิธีทดสอบเอ็มทีทีและการวิเคราะห์ข้อมูลทางสถิติ โดยเซลล์จะถูกทดสอบกับสารซิม华สเตตินที่ความเข้มข้น 1, 5, 10, 15 และ 20 ไมโครโมลาร์ เป็นเวลา 24 ชั่วโมง พบร้าสารซิม华สเตตินที่ระดับความเข้มข้น 15 และ 20 ไมโครโมลาร์ มีผลยับยั้งการเพิ่มจำนวนเซลล์มะเร็งเอชเอสซี-4 อย่างมีนัยสำคัญทางสถิติ ($p<0.05$) คิดเป็นร้อยละ 73.11 ± 27.03 และ 60.76 ± 20.96 เมื่อเทียบกับกลุ่มควบคุมซึ่งกำหนดให้ค่าเฉลี่ยจำนวนเซลล์เป็นร้อยละ 100 (กราฟรูปที่ 1)

ส่วนเซลล์มะเร็งซีซีแอล-25 สารซิม华สเตตินที่ระดับความเข้มข้น 15 และ 20 ไมโครโมลาร์ มีผลยับยั้งการเพิ่มจำนวนเซลล์อย่างมีนัยสำคัญทางสถิติ คิดเป็นร้อยละ 64.81 ± 34.7 และ 63.49 ± 41.1 ตามลำดับ ($p<0.05$) เมื่อเทียบกับกลุ่มควบคุมซึ่งกำหนดให้ค่าเฉลี่ยจำนวนเซลล์เป็นร้อยละ 100 (กราฟรูปที่ 1)

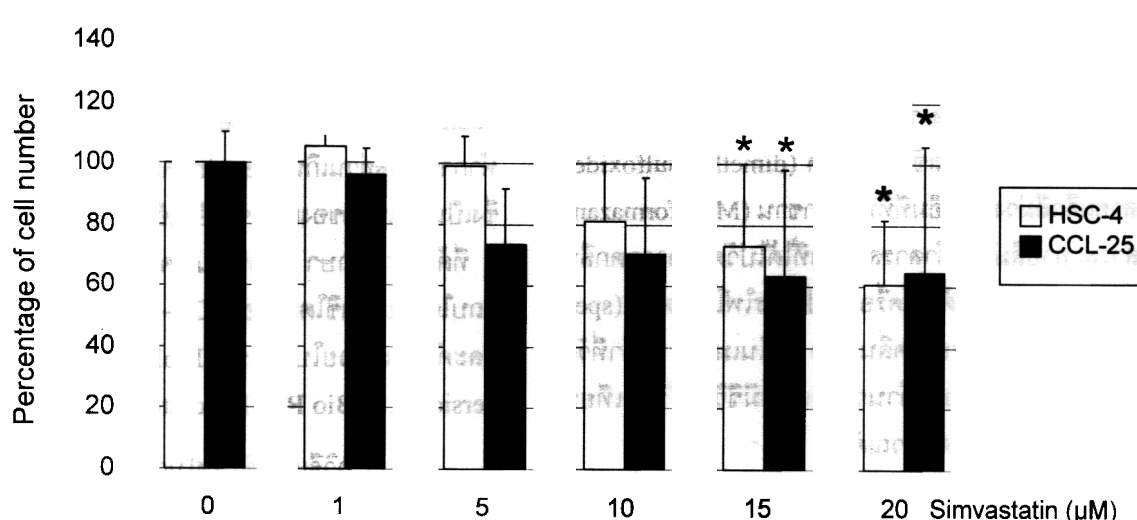
เมื่อพิจารณาจากผลที่ได้ในกราฟรูปที่ 1 ดังนั้นระดับความเข้มข้นสูงสุดของสารซิม华สเตตินที่ใช้ในการทดลองเพื่อวิเคราะห์

ระดับเออนไซม์เอ็มพี-2 และ -9 ด้วยวิธีเจลาตินไชไมกราฟพี โดยที่ไม่มีความเป็นพิษต่อเซลล์มะเร็งเอชเอสซี-4 และเซลล์มะเร็งซีซีแอล-25 คือที่ความเข้มข้น 10 ไมโครโมลาร์

ผลของสารซิม华สเตตินต่อระดับการทำางานของเออนไซม์เอ็มพี-2 และ -9 ในเซลล์มะเร็งเอชเอสซี-4 และเซลล์มะเร็งซีซีแอล-25

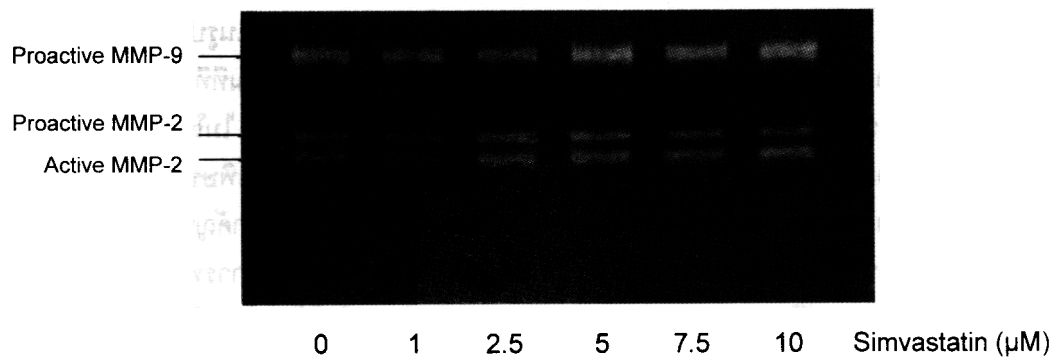
จากการวิธีเจลาตินไชไมกราฟพี เซลล์มะเร็งเอชเอสซี-4 สร้างทั้งเออนไซม์เอ็มพี-2 และ -9 โดยเออนไซม์เอ็มพี-2 พบรอยู่ในรูปแบบก่อนทำงานและพร้อมทำงาน ส่วนเออนไซม์เอ็มพี-9 อยู่ในรูปแบบก่อนทำงานเท่านั้น (รูปที่ 2) ขณะที่เซลล์มะเร็งซีซีแอล-25 พบร่องรอยเออนไซม์เอ็มพี-9 ที่อยู่ในรูปก่อนทำงานและพร้อมทำงานเท่านั้น (รูปที่ 3 ก)

ในเซลล์มะเร็งเอชเอสซี-4 พบร้าสารซิม华สเตตินที่ระดับความเข้มข้น 1, 2.5, 5, 7.5 และ 10 ไมโครโมลาร์ ไม่มีผลต่อระดับการทำงานของเออนไซม์เอ็มพี-2 และ -9 อย่างมีนัยสำคัญทางสถิติ ($p>0.05$, รูปที่ 2) ส่วนเซลล์มะเร็งซีซีแอล-25 พบร้าสารซิม华สเตตินที่ระดับความเข้มข้น 10 ไมโครโมลาร์ มีผลลดระดับการทำงานของเออนไซม์เอ็มพี-9 อย่างมีนัยสำคัญทางสถิติ ($p<0.05$, รูปที่ 3 ข)



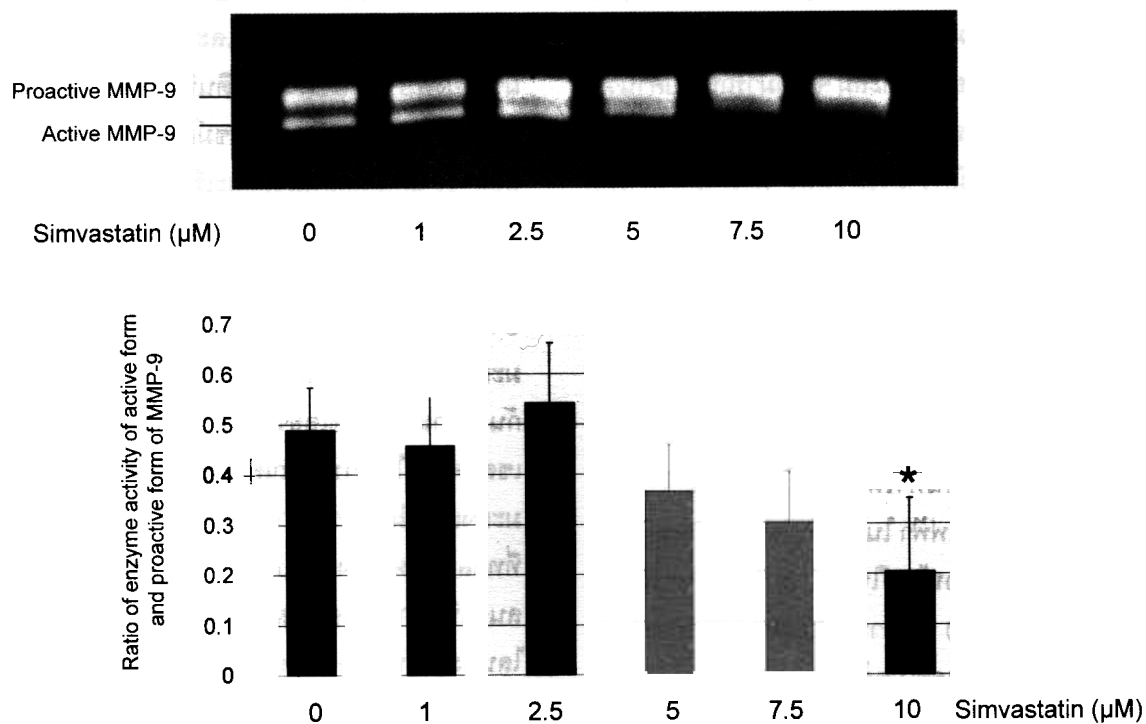
รูปที่ 1 ผลของสารซิม华สเตตินต่อการเพิ่มจำนวนของเซลล์มะเร็งเอชเอสซี-4 และเซลล์มะเร็งซีซีแอล-25 เมื่อวิเคราะห์ด้วยวิธีการเอ็มทีที เซลล์ถูกทดสอบด้วยสารซิม华สเตตินตามความเข้มข้นที่กำหนด เป็นเวลา 24 ชั่วโมง ผลการทดลองแสดงอยู่ในรูปของค่าเฉลี่ย \pm ค่าเบี่ยงเบนมาตรฐาน (* แสดงถึงความแตกต่างอย่างมีนัยสำคัญทางสถิติเมื่อเปรียบเทียบกับกลุ่มควบคุม ที่ $p < 0.05$, $n=12$)

Figure 1 The effect of simvastatin on the proliferation of HSC-4 and CCL-25 via the MTT assay. Cells were treated with the increasing concentrations of simvastatin for 24 hours. Data showed in mean \pm S.D. (* demonstrates significance from the control group at $p < 0.05$, $n=12$)



รูปที่ 2 เจลตินไซโนกราฟที่แสดงผลของสารชีมวاستดินต่อการทำงานของเอนไซม์เอ็มพี-2 และเอนไซม์เอ็มพี-9 ในเซลล์มะเร็งเอชซี-4 ที่ถูกทดสอบด้วยสารชีมวاستดิน ตามระดับความเข้มข้นที่กำหนด เป็นเวลา 24 ชั่วโมง

Figure 2 Gelatin zymography showed the effect of simvastain on the gelatinolytic activity of MMP 2 and MMP-9 in HSC -4. Cells were treated with the increasing concentrations of simvastatin for 24 hours.



รูปที่ 3 เจลตินไซโนกราฟที่แสดงผลของสารชีมวاستดินต่อการทำงานของเอนไซม์เอ็มพี-9 ในเซลล์มะเร็งซีซีแอล-25

- ระดับเอนไซม์เอ็มพี-9 จากอาหารเพาะเลี้ยงเซลล์ที่ได้หลังการทดสอบ ด้วยสารชีมวاستดิน ในระดับความเข้มข้นที่กำหนด เป็นเวลา 24 ชั่วโมง
- กราฟแสดงความสัมพันธ์ระหว่างอัตราส่วนของระดับเอนไซม์เอ็มพี-9 ในรูปพร้อมทำงานต่อรูปก่อนทำงาน และความเข้มข้นของสารชีมวاستดิน ข้อมูลแสดงอยู่ในรูปของค่าเฉลี่ย \pm ค่าเบี่ยงเบนมาตรฐาน ที่ได้จากการทดลอง 3 ครั้ง. * แสดงความแตกต่างอย่างมีนัยสำคัญทางสถิติ ($p < 0.05$)

Figure 3. Gelatin zymography showed the effect of simvastatin on the MMP-9 gelatinolytic activity in CCL-25.

- The MMP-9 gelatinolytic activities from conditioned media. Cells were treated with the increasing concentrations of simvastatin for 24 hours.
- Graph presented the relationship between ratio of MMP-9 gelatinolytic activity of active and proactive forms and the increasing concentrations of simvastatin. Data are depicted as mean \pm S.D. The data are representative of three separate experiments. * significant difference from the control group at $p < 0.05$.

วิจารณ์

ในการศึกษาครั้งนี้ ผู้วิจัยได้ทำการศึกษาความเป็นพิษหรือผลต่อการเพิ่มจำนวนเซลล์ของสารซิมวัสเตตินต่อเซลล์ไลน์มะเร็ง ได้แก่ เซลล์เอชเออสซี-4 และเซลล์ซีซีแอล-25 โดยการวิเคราะห์ด้วยสารเอ็มทีที รวมทั้งศึกษาผลของสารซิมวัสเตตินที่มีต่อระดับการทำงานของเอนไซม์เอ็มเพอร์ฟี-2 และ -9 ในเซลล์ดังกล่าวด้วยวิธีเจลตินไทร์ไมกราฟฟี

การวัดจำนวนเซลล์ที่มีชีวิตด้วยสารเอ็มทีที^{16,18} อาศัยหลักการในการตรวจด้วยดับของเอนไซม์ไดโอดริจีนส์ ที่พบในไนโตรคอนเดรีย (mitochondrial dehydrogenase) ซึ่งเป็นเอนไซม์ที่เกี่ยวข้องกับกระบวนการหายใจของเซลล์ โดยเอนไซม์นี้จะเปลี่ยนเกลือเทตราชิเดียม (tetrazolium salt) ในสารเอ็มทีที เป็นผลึกฟอร์มาซาน (formazan) ซึ่งมีสีม่วง เมื่อนำไปปลายด้วยสารละลายที่เหมาะสม จะสามารถนำไปคำนวณหาจำนวนเซลล์ได้ ถ้าเซลล์มีจำนวนมาก สีม่วงของสารละลายของผลึกฟอร์มาซานก็จะมีความเข้มข้นสูง ทำให้ได้ค่าการดูดกลืนแสงมากขึ้น ซึ่งทำให้วิธีนี้สามารถนำไปประยุกต์ใช้วัดสารทดสอบในเบื้องต้นความเป็นพิษของสารและการเพิ่มจำนวนเซลล์

วิธีเจลตินไทร์ไมกราฟฟี เป็นวิธีใช้วัดระดับการทำงานของเอนไซม์กลุ่มเจลติน¹⁷ ประกอบด้วยเอนไซม์เอ็มเอ็มพี-2 และเอนไซม์เอ็มเอ็มพี-9 โดยอาศัยคุณสมบัติของเอนไซม์กลุ่มนี้ที่สามารถย่อยเจลตินทำให้เอนไซม์ซึ่งถูกแยกตามมวลไม่เลกูลด้วยวิธีการแยกด้วยไฟฟ้า ในสภาวะ non-reducing และเมื่อมีการปรับสภาพของเอนไซม์ให้อยู่ในสภาพเหมือนกับการทำงาน (renaturation) สามารถย่อยเจลตินที่ผสมอยู่ในเนื้อเจล ก็จะเป็นแกนสำคัญของเจลเมื่อย้อมแผ่นเจลด้วยสารละลาย Coomasie brilliant blue ขณะที่ส่วนอื่นของเจลที่ยังมีเจลตินอยู่จะย้อมติดสีน้ำเงิน ทำให้วิธีเจลตินไทร์ไมกราฟฟีสามารถวัดระดับเอนไซม์เอ็มเอ็มพี-2 และ -9 ที่อยู่ในรูปก่อนทำงานและพร้อมทำงาน โดยระหว่างการปรับสภาพของเอนไซม์ให้อยู่ในสภาพที่เหมาะสมกับการทำงาน เอนไซม์เอ็มเอ็มพี-2 และ -9 ในรูปก่อนทำงาน จะเกิดการ auto cleavage ตัวยักไกที่ไม่ทราบชัดเจน¹⁹ ทำให้สามารถย่อยเจลตินในเนื้อเจลได้เหมือนกับรูปพร้อมทำงาน ดังนั้นในการศึกษาครั้งนี้ ระดับการทำงานเอนไซม์เอ็มเอ็มพี-2 และ -9 จึงคำนวณจากอัตราส่วนระหว่างความสามารถในการย่อยสภาพเจลตินที่

ผสมในเนื้อเจลของเอนไซม์ในรูปพร้อมทำงานและก่อนทำงานจากการวิเคราะห์ด้วยสารเอ็มทีที พบร่วมสารซิมวัสเตตินที่ระดับความเข้มข้น 15 และ 20 ไมโครโมลาร์ มีผลยับยั้งการเพิ่มจำนวนเซลล์หรือมีความเป็นพิษของเซลล์ไลน์มะเร็งเอชเออสซี-4 และซีซีแอล-25 อย่างมีนัยสำคัญทางสถิติ ($p < 0.05$) เมื่อเปรียบเทียบกับกลุ่มควบคุม จากการทบทวนวรรณกรรมที่เกี่ยวข้องพบว่าสารกลุ่มสเตรตินได้ถูกนำมาศึกษาในเบื้องต้นของสารยับยั้งการเพิ่มจำนวนเซลล์มะเร็ง โดยยับยั้งการแบ่งตัวในระยะ G¹-S ผ่านทาง p21^{WAF1/CIP1}, p27^{KIP1}, Rho small GTPase และ geranylgeranyl phosphoprotein และกระตุ้นการเกิด apoptosis²⁰⁻²⁵

นอกเหนือจากความเป็นพิษของสารซิมวัสเตตินที่มีต่อเซลล์มะเร็งเอชเออสซี-4 และเซลล์มะเร็งซีซีแอล-25 กลุ่มผู้วิจัยยังพบว่าสารซิมวัสเตตินที่ความเข้มข้น 10 ไมโครโมลาร์ มีผลลดการทำงานของเอนไซม์เอ็มเอ็มพี-9 ในเซลล์มะเร็งซีซีแอล-25 แต่ไม่มีผลในเซลล์มะเร็งเอชเออสซี-4 ซึ่งแสดงให้เห็นว่าเซลล์มะเร็งเอชเออสซี-4 และเซลล์มะเร็งซีซีแอล-25 มีกลไกควบคุมการทำงานของเอนไซม์เอ็มเอ็มพี-9 ที่แตกต่างกัน ซึ่งอาจมีสาเหตุมาจากเซลล์ที่ใช้ในการศึกษาครั้งนี้เป็นเซลล์มะเร็งซึ่งมาจากการอวัยวะหรือเนื้อเยื่อต้นกำเนิดของเซลล์ที่แตกต่างกัน เพราะเซลล์เอชเออสซี-4 ได้จากการแยกของปากชนิดสความัส-เซลล์癌ในมาบริเวณลิ้น²⁶ และเซลล์ซีซีแอล-25 ได้จากการแยกเยื่อบุผิวนิรภัยปากมดลูก²⁷ จึงทำให้การตอบสนองต่อสารที่ทดสอบแตกต่างกันไป เมื่อเทียบกับรายงานผลของการตอบสนองที่แตกต่างของเซลล์ไลน์มะเร็งเมลาโนมา B16 และเซลล์ไลน์มะเร็งไทโรมา EL4 ต่อสารอินเตอร์ฟีโรนแกรมมา²⁸

ความสามารถของสารซิมวัสเตตินในการลดระดับเอนไซม์เอ็มเอ็มพี-9 ในเซลล์มะเร็งซีซีแอล-25 ลดคล้อยกับผลของสารซิมวัสเตตินที่ทดสอบในเซลล์สร้างกระดูก เซลล์แมคโครไฟส์ และเซลล์กล้ามเนื้อเรียนของผนังหลอดเลือด^{11,12,29-31} ถึงแม้การศึกษาครั้งนี้จะไม่สามารถออกถึงกลไกของสารซิมวัสเตตินในการยับยั้งการหลังเอนไซม์เอ็มเอ็มพี-9 ในเซลล์มะเร็งได้ แต่จากการทบทวนวรรณกรรมที่เกี่ยวข้อง พบว่าสารสเตรตินสามารถยับยั้งการสร้างคอลเลสเทอโรลซึ่งเป็นองค์ประกอบสำคัญของ vesicle membrane ในการขนส่งโปรตีนออกสู่ภายนอกเซลล์ คือทั้งสารซิมวัสเตตินมีผลก้า้บการทำงาน

ของโปรตีน Ras ซึ่งเป็น small GTP-binding protein ทำหน้าที่ควบคุมการหลั่งสารออกอกเซลล์ การเคลื่อนที่ของเซลล์ และรูปร่างของเซลล์ ดังนั้นสารชิม瓦สเตตินจึงอาจมีผลยับยั้งการสร้างเอนไซม์เอมเอ็มพี-9 ในกระบวนการส่งเอนไซม์ เอมเอ็มพี-9 ออกอกเซลล์ หรือผ่านทางโปรตีน Ras ก็ได้^{21,31} แต่อย่างไร ก็ตี แนวความคิดนี้ต้องทำการศึกษาเพื่อพิสูจน์ต่อไป

สรุป

งานวิจัยครั้งนี้ แสดงให้เห็นถึงผลของสารชิมวาสเตตินที่ระดับความเข้มข้น 15 และ 20 ไมโครโมลาร์ ในการยับยั้งการเพิ่มจำนวนเซลล์ในเซลล์มะเร็งเอชเอสซี-4 และเซลล์มะเร็งซีซีแอล-25 และสารชิมวาสเตตินที่ระดับความเข้มข้น 10 ไมโครโมลาร์ มีผลลดระดับการทำลายของเอนไซม์เอมเอ็มพี-9 ในเซลล์มะเร็งซีซีแอล-25 อย่างมีนัยสำคัญทางสถิติ ดังนั้นการนำสารชิมวาสเตตินมาใช้ในการยับยั้งการเพิ่มจำนวนของเซลล์มะเร็ง หรือควบคุมการแพร่กระจายของมะเร็งผ่านทางเอนไซม์เอมเอ็มพี-2 และ -9 ควรที่จะมีการศึกษาในระดับห้องปฏิบัติการในเบื้องต้น ก่อนนำไปประยุกต์ใช้ต่อไป

กิตติกรรมประกาศ

คณะผู้วิจัยขอขอบพระคุณ รองศาสตราจารย์ ดร.ฤทธิ์ สุราฤทธิ์ ภาควิชาครุรักษ์และชีวเคมี คณะทันตแพทยศาสตร์ มหาวิทยาลัยมหิดล ที่ให้ความอนุเคราะห์เซลล์มะเร็งเอชเอสซี-4 ขอขอบพระคุณ Associate Professor Jack Windson, Dental school, Indiana University ที่ให้ความอนุเคราะห์ เซลล์ซีซีแอล-25 สำหรับใช้ในงานวิจัย ขอขอบพระคุณ ผศ.ทพญ. ดร. วิสาขะ ล้มวงศ์ และ ผศ. ทพญ. ดออลลี่ เมธาราธิป ที่ให้คำแนะนำในการทำงานวิจัย ขอขอบคุณภาควิชาภารกิจวิภาคศาสตร์ และศูนย์วิจัยศึกษาวิทยาช่องปาก คณะทันตแพทยศาสตร์ จุฬาลงกรณ์มหาวิทยาลัย ที่ให้การสนับสนุนและอนุญาตให้ใช้ อุปกรณ์ในงานวิจัย

งานวิจัยนี้ได้รับทุนสนับสนุนจากทุนส่งเสริมการวิจัยของ เงินกองทุนเพื่อการวิจัย คณะทันตแพทยศาสตร์ จุฬาลงกรณ์ มหาวิทยาลัย ประจำปี 2546 และกองทุนรังษีดากิเม็กสมโภช ประจำปี 2545

เอกสารอ้างอิง

- Bohle AS, Kalthoff H. Molecular mechanisms of tumor metastasis and angiogenesis. *Langenbeck's Arch Surg* 1999;384:133-40.
- Johansson N, Ahonen M, Kahari VM. Matrix metalloproteinases in tumor invasion. *Cell Mol Life Sci.* 2000;57:5-15.
- John A, Tuszyński G. The role of matrix metalloproteinases in tumor angiogenesis and tumor metastasis. *Pathol Oncol Res* 2001;7:14-23.
- Woessner JF, Nagase H. Matrix metalloproteinases and TIMPs. Oxford University Press, Inc. New York, 2000.
- Impola U, Uitto V, Hietanen J, Hakkinen L, Zhang L, Larjava H, Isaka K, Saarialho-Kere U. Differential expression of matrilysin-1 (MMP-7), 92 kD gelatinase (MMP-9), and metallo elastase (MMP-12) in oral verrucous and squamous cell cancer. *J Pathol.* 2004; 202: 14-22.
- Tanioka Y, Yoshida T, Yagawa T, Saiki Y, Takeo S, Harada T, Okazawa T, Yanai H, Okita K. Matrix metalloproteinase-7 and matrix metalloproteinase-9 are associated with unfavourable prognosis in superficial oesophageal cancer. *Br J Cancer.* 2003;89:2116-21.
- Dunne AA, Sesterhenn A, Gerisch A, Teymoortash A, Kuropkat C, Werner JA. Expression of MMP-2, -9 and -13 in cell lines and fresh biopsies of squamous cell carcinomas of the upper aerodigestive tract. *Anticancer Res.* 2003;23:2233-9.
- Farnier M, Davignon J. Current and future treatment of hyperlipidemia: the role of statins. *Am J Cardiol* 1998;82:3J-10J.
- Vaughan CJ, Gotto AM Jr, Basson CT. The evolving role of statins in the management of atherosclerosis. *J Am Coll Cardiol* 2000;35:1-10.
- Liao JK. Beyond lipid lowering: the role of statins in vascular protection. *Int J Cardiol* 2002;86:5-18.
- Bellosta S, Via D, Canavesi M, Pfister P, Fumagalli R, Paoletti R, et al. HMG-CoA reductase inhibitors reduce MMP-9 secretion by macrophages. *Arterioscler Thromb Vasc Biol.* 1998; 8:1671-8.
- Aikawa M, Rabkin E, Sugiyama S, Voglic SJ, Fukumoto Y, Furukawa Y, et al. An HMG-CoA

- reductase inhibitor, cerivastatin, suppresses growth of macrophages expressing matrix metalloproteinases and tissue factor in vivo and in vitro. *Circulation* 2001;103:276-83.
13. Seeger H, Wallwiener D, Mueck AO. Statins can inhibit proliferation of human breast cancer cells in vitro. *Exp Clin Endocrinol Diabetes*. 2003;111:47-8.
 14. Stirewalt DL, Appelbaum FR, Willman CL, Zager RA, Banker DE. Mevastatin can increase toxicity in primary AMLs exposed to standard therapeutic agents, but statin efficacy is not simply associated with ras hotspot mutations or overexpression. *Leuk Res*. 2003;27:133-45.
 15. Li HY, Appelbaum FR, Willman CL, Zager RA, Banker DE. Cholesterol-modulating agents kill acute myeloid leukemia cells and sensitize them to therapeutics by blocking adaptive cholesterol responses. *Blood*. 2003;101:3628-34.
 16. Freshney RI. Culture of animal cells : A manual of basic technique. 3th edition. New York: Wiley-Liss, Inc., 1994.
 17. Kusano K, Miyaura C, Inada M, Tamura T, Ito A, Nagase H, Kamoi K, Suda T. Regulation of matrix metalloproteinases (MMP-2, -3, -9 and -13) by interleukin-1 and interleukin-6 in mouse calvariae : association of MMP induction with bone resorption. *Endocrinology* 1998; 139:1338-45.
 18. Mosmann T. Rapid colorimetric assay for cellular growth and survival : application to proliferation and cytotoxicity assays. *J Immunol. Methods*. 1983;65:55-63.
 19. Lantz MS, Ciborowski P. Zymographic techniques for detection and characterization of microbial proteases. *Methods Enzymol*. 1994;235:563-94.
 20. Keyomarsi K, Sandoval L, Band V, Pardee AB. Synchronization of tumor and normal cells from G1 to multiple cell cycles by lovastatin. *Cancer Res*. 1991;51:3602-9.
 21. Danesh FR, Sadeghi MM, Amro N, Philips C, Zeng L, Lin S, Sahai A, Kanwar YS. 3-Hydroxy-3-methylglutaryl CoA reductase inhibitors prevent high glucose-induced proliferation of mesangial cells via modulation of Rho GTPase/ p21 signaling pathway: Implications for diabetic nephropathy. *Proc Natl Acad Sci U S A*. 2002;99:8301-5.
 22. Weiss RH, Ramirez A, Joo A. Short-term pravastatin mediates growth inhibition and apoptosis, independently of Ras, via the signaling proteins p27Kip1 and P13 kinase. *J Am Soc Nephrol*. 1999;10:1880-90.
 23. Bouterfa HL, Sattelmeyer V, Czub S, Vordermark D, Roosen K, Tonn JC. Inhibition of Ras farnesylation by lovastatin leads to downregulation of proliferation and migration in primary cultured human glioblastoma cells. *Anticancer Res*. 2000;20:2761-71.
 24. Blanco-Colio LM, Villa A, Ortego M, Hernandez-Presa MA, Pascual A, Plaza JJ, Egido J. 3-Hydroxy-3-methyl-glutaryl coenzyme A reductase inhibitors, atorvastatin and simvastatin, induce apoptosis of vascular smooth muscle cells by downregulation of Bcl-2 expression and Rho A prenylation. *Atherosclerosis*. 2002;161:17-26.
 25. El-Ani D, Zimlichman R. Simvastatin induces apoptosis of cultured rat cardiomyocytes. *J Basic Clin Physiol Pharmacol*. 2001;12(4):325-38.
 26. Japanese Cancer Research Bank (JCRB), Japan. (<http://www.cellbank.nihs.go.jp>)
 27. American Type Culture Collection (ATCC), USA. (<http://www.atcc.org>).
 28. Maekawa R, Kitagawa T, Hojo K, Wada T, Sato K. Distinct antitumor mechanisms of recombinant murine interferon-gamma against two murine tumor models. *J Interferon Res*. 1988;8:227-39.
 29. Luan Z, Chase AJ, Newby AC. Statins Inhibit Secretion of Metalloproteinases-1, -2, -3, and -9 from vascular smooth muscle cells and macrophages. *Arterioscler Thromb Vasc Biol*. 2003;23:769-775.
 30. Thunyakitpisal P. Effect of simvastatin on the protein and mRNAs levels of enzyme matrix metalloproteinase-9 (MMP-9) in osteoblasts [Annual report]. Rachadapisek-Sompoj Endowment, Chulalongkorn University, 2001.
 31. Takemoto M, Liao JK. Pleiotropic effects of 3-hydroxy-3-methylglutaryl coenzyme a reductase inhibitors. *Arterioscler Thromb Vasc Biol*. 2001; 21:1712-9.

Effect of simvastatin on the proliferation and enzyme activity of MMP-2 and -9 in cancer cell lines HSC-4 and CCL-25

Risa Chaisuparat D.D.S.¹

Phakawan Musikapong B.Sc²

Pasutha Thunyakitpisal D.D.S., Ph.D³

¹ Department of Oral Pathology, Faculty of Dentistry, Chulalongkorn University

² Oral Biology Research Center, Faculty of Dentistry, Chulalongkorn University

³ Department of Anatomy, Faculty of Dentistry, Chulalongkorn University

Abstract

Objective : To study the effect of simvastatin on the proliferation and enzyme activity of MMP-2 and -9 in HSC-4 and CCL-25 cancer cell lines

Materials and methods : Cells were treated with simvastatin in the serum-free media for 24 hours. The number of cells were measured by MTT technique. Enzyme activities in the conditioned media were measured by gelatin zymography. The data were analyzed by One way ANOVA ($\alpha<0.05$).

Results : Simvastatin, at 15 and 20 μM , significantly decreased the proliferation of HSC-4 and CCL-25 compared with the control group. Simvastatin, at 10 μM , significantly decreased the MMP-9 activity in CCL-25. Simvastatin did not significantly effect the MMP-2 and MMP-9 activities in HSC-4.

Conclusion : In HSC-4 and CCL-25, the toxicity concentration of simvastatin is 15 and 20 μM . Simvastatin, at 10 μM , significantly suppressed MMP-9 activity in CCL-25.

(CU Cent J 2004;27:59-63)

Key words : gelatin zymography; MMP-9; simvastatin; toxicity test
